# **Neue Juglomycine**

New Juglomycins

Holger Lessmann, Johann Krupa und Helmut Lackner\*

Institut für Organische Chemie der Universität, Tammannstraße 2, D-3400 Göttingen

Peter G. Jones\*\*

Institut für Anorganische Chemie der Universität, Tammannstraße 4, D-3400 Göttingen

Z. Naturforsch. 44b, 353-363 (1989); eingegangen am 15. August 1988

Antibiotics, Juglomycins, Structure, X-Ray, NMR Data

A presumed precursor of the juglomycins, (2S, 3'R, 4'R)-2,3-dihydro-juglomycin A (3), has been isolated and its X-ray structure determined. 3 forms an equilibrium with a novel hemi-ketal (4). The structures of new juglomycins (C, D, E, F) and some derivatives have been elucidated and their structure/activity-relationships are discussed.

Juglomycine sind breitbandig aktive Antibiotica mit Juglonchromophor und meist chiraler C<sub>4</sub>-Seitenkette (1, 2) [1]. Ein wesentlicher Anlaß für die Ermittlung ihrer absoluten Konfiguration (s. vorhergeh. Mitt. [2]) war die Isolierung einer unbekannten, stereochemisch einheitlichen Precursorverbindung aus jungen Streptomycetenkulturen [3]. Sie bildete in Lösung ein Gleichgewicht mit einem Hemiketal und ging an Luft allmählich in 1 und 2 sowie in ein neues Juglomycin C über. Dieses fand sich neben weiteren Strukturvarianten (D, E, F) auch in den Kulturfiltraten, so daß mitsamt den Derivaten eine größere Gruppe eng verwandter Substanzen für Struktur/Wirkungsuntersuchungen verfügbar wurde. Hinzu kam, daß dieselben Kulturlösungen weitere, z.T. cytostatisch sehr aktive Isochromanchinone [4] sowie einen Anthrachinon- und einen roten C28-Farbstoff [4] enthielten. Deren biogenetischer Zusammenhang mit den Juglomycinen lag nahe und somit waren der Precursor und die neuen Varianten erstes Ziel der Strukturaufklärungen.

\* Sonderdruckanforderungen an Prof. Dr. H. Lackner. \*\* Neue Anschrift: Institut für Anorganische und Analytische Chemie der Technischen Universität, Hagenring 30, D-3300 Braunschweig.

Verlag der Zeitschrift für Naturforschung, D-7400 Tübingen 0932-0776/89/0300-0353/\$ 01.00/0

### **Ergebnisse**

Die Gewinnung der Metaboliten erfolgte aus Schüttelkulturen der Streptomycetenstämme 815 und 3094 (Sammlung des Institutes für Organische Chemie). Ein komplexes Aufarbeitungsschema für 6 l Kulturlösung von Stamm 815 gab die Rohprodukte A–D (s. Exp. Teil) und deren Trennung dann u. a. 1, 2 (46,12 mg) und 3 (26 mg) aus A, 5 (62 mg) aus B, 6 (11 mg) aus C und lichtempfindliche Mycelfarbstoffe (38 mg) aus D. Verlängerte Wachstumszeiten (Stamm 3094; 20 l) führten zu 6b, 7b und 8 (78, 80 und 25 mg) sowie zu den cytostatisch aktiven Fraktionen.

### I. 2,3-Dihydrojuglomycin A (3, 4)

Die fast farblosen Kristalle mit Schmp. 132 °C waren in Chloroform schlecht, in Aceton und Methanol mäßig löslich; die UV-Daten glichen denen des 2,3-Dihydrojuglons [5]. Das hochaufgelöste Massenspektrum ergab C<sub>14</sub>H<sub>12</sub>O<sub>6</sub> und damit 2 Wasserstoffe mehr als bei 1; Drehwerte ließen sich nicht reproduzieren. Im  ${}^{1}H$ -NMR-Spektrum ([D<sub>6</sub>]-Aceton; unter N<sub>2</sub>) erschien stets ein zweiter Signalsatz, dessen Intensität von anfangs <10% nach 6 h bei 20 °C auf die Höhe der Hauptsignale anstieg und dann konstant blieb. Beide Partialspektren konnten damit eindeutig analysiert werden. Das Hauptspektrum zeigte typische Signale des ABC-Systems (6,7,8-H) und des  $\gamma$ -Butyrolactonringes von 1, während das in 1 chinoide 3-H (1,7 Hz, d) nun durch ein 3-H<sub>a,b</sub>/2-H-System ( $\delta \sim 3,4$ und 3,9) ersetzt war (Tab. II und III). Dementsprechend lagen C-3 und C-2 im  $^{13}$ C-Bereich bei  $\delta =$ 38,8 (t) bzw. 47,5 (d) (Tab. IV) und die 1- und 4-

	1	2	3	5	5a	6a	7 a	8a	Br-A**	Br-B*
B. subt. (sy.)	42	40	40*	36	36	31	20	31	38	38
B. subt. (ko.)					24					20
	20	18		24	24	22	14	22	13	13

<sup>\*</sup> Oxidative Umwandlung in 1 bzw. 2; \*\* 6,8-Dibrom-juglomycin A, B [2]; Hemmhofdurchmesser in [mm]. – Wirkstoffmengen: 40 μg pro Testplätt-

Tab. I. Plattendiffusionsteste gegen *B. subtilis* und *E. coli*.

Tab. II. <sup>1</sup>H-NMR-Daten (δ-Werte).

	4*	4	3	1	5	6	7 b	8*	6a	6b	7 a	8a*	9	9a	9b*	9c*
2-H	4,12	3,19	3,90													
3-Ha	2,64	3,03	3,42	6.95	6,99								6,82	6,63	7,31	7,05
3-Hb	2,64	3,20	3,52													
3-OH						7,5-9	br.	7,47	4,15M	br.	4,13M	4,13M				
5-OH	2,34A	12,24	12,21	11,90	11,98	11.38	11,32	11,10	11,76	11,37	11,71	11,80	10,0	10,0	2,41A	2,41A
6-H	7,29	6,92	7,35	7,35	7,29	7,24	7,27	7,24	7,27	7,24	7,30	7,20	6,78	6,82	7,22	7,23
7-H	7,56	7,54	7,85	7,82	7,76	7.74	7,76	7,62	7,72	7,74	7,72	7,62	7,29	7,33	7,53	7,56
8-H	8,00	7,25	7,54	7,60	7,59	7,59	7,59	7,58	7,57	7,59	7,57	7,58	7,66	7,69	7,66	7,65
2'-Ha	2,43	2,21	2,52	2,64	2,53	2,46	3,71	2,33**	2,48	2,46	3,73	2,31**	2,52	2,52	2,74	2,59
2'-Hb	3,15	2,72	3,04	3,20	2,62	2,57	3,71		2,54	2,53	3,73		3,09	2,91	3,06	2,94
3'-H	3.56	5.12	4,84	4,97	4.36	4.01			4,32	4,39			4,88	4,61	5,68	5,34
3'-OH	2.19A		4,90	4.80	3.78	3.73			4,11	br.			4,42	5,30	1,79A	2,15A
4'-Ha	4,23	5.29	4,95	5.78	2,72	2.80	3.84	3,75**	2,76	2,79	3,88	3,74**	5,95	5,78	5,79	5,78
4'-Hb					2,89	2,92	3,84		2,87	2,88	3,88					
1-OH		6.04											7,97	8,05	2,51A	2,53A
4-OH													10,0	10,0	2,42A	2,42A
COOH					7.5-9	7.5-9	3.68M		3,60M	3.59M	3,70M					

<sup>\*</sup> CDCl<sub>3</sub>, sonst Aceton-d<sub>6</sub> (200 MHz); \*\* 1'- bzw. 3'-H der Acetonylseitenketten. – A = Acetyl, M = O-Methyl – Werte für **5a:** wie für **5** (±0,03), O-Methyl: 3,62.

6	8	3 (3a, b)	2, 4'	4'a, b	4', 3'	3'-OH	2'a, b
8,4/1,1	7,6	1,7			3,8	3,0	17,4/5,3/<0,5
8,3/1,2	7,6	17,5/8,6/6,4	8,6		3,7	br.	17,4/4,8/0,8
8,3/1,2	7.7	20,3/6,7/5,6	5,0		4,8		18,6/6,7/1,0
8,4/1,2	7,5	1,0/1,2		13,5	8,5/4,4	br.	15,6/8,0/4,8
8,3/1,2	7.4			12,8	6,8/6,4	br.	15,7/8,4/4,3
7,6/1,0	8,5	< 0,5			3,2	br.	17,1/5,2/0,6
7,6/1,0	8,5	<0.5			3,3	br.	17,6/6,5/3,9
7,4/1,2	8.5	<0.5			4,3		18,2/5,7/0,8
7.4/1.2	8.5	< 0.5			1,4		18,2/6,2/1,9
	8,4/1,1 8,3/1,2 8,3/1,2 8,4/1,2 8,3/1,2 7,6/1,0 7,6/1,0 7,4/1,2	8,4/1,1 7,6 8,3/1,2 7,6 8,3/1,2 7,7 8,4/1,2 7,5 8,3/1,2 7,4 7,6/1,0 8,5	8,4/1,1 7,6 1,7 8,3/1,2 7,6 17,5/8,6/6,4 8,3/1,2 7,7 20,3/6,7/5,6 8,4/1,2 7,5 1,0/1,2 8,3/1,2 7,4 7,6/1,0 8,5 <0,5 7,6/1,0 8,5 <0,5 7,4/1,2 8,5 <0,5	8,4/1,1 7,6 1,7 8,3/1,2 7,6 17,5/8,6/6,4 8,6 8,3/1,2 7,7 20,3/6,7/5,6 5,0 8,4/1,2 7,5 1,0/1,2 8,3/1,2 7,4 7,6/1,0 8,5 <0,5 7,6/1,0 8,5 <0,5 7,4/1,2 8,5 <0,5	8,4/1,1 7,6 1,7 8,3/1,2 7,6 17,5/8,6/6,4 8,6 8,3/1,2 7,7 20,3/6,7/5,6 5,0 8,4/1,2 7,5 1,0/1,2 13,5 8,3/1,2 7,4 12,8 7,6/1,0 8,5 <0,5 7,6/1,0 8,5 <0,5 7,4/1,2 8,5 <0,5	8,4/1,1       7,6       1,7       3,8         8,3/1,2       7,6       17,5/8,6/6,4       8,6       3,7         8,3/1,2       7,7       20,3/6,7/5,6       5,0       4,8         8,4/1,2       7,5       1,0/1,2       13,5       8,5/4,4         8,3/1,2       7,4       12,8       6,8/6,4         7,6/1,0       8,5       <0,5	8,4/1,1       7,6       1,7       3,8       3,0         8,3/1,2       7,6       17,5/8,6/6,4       8,6       3,7       br.         8,3/1,2       7,7       20,3/6,7/5,6       5,0       4,8         8,4/1,2       7,5       1,0/1,2       13,5       8,5/4,4       br.         8,3/1,2       7,4       12,8       6,8/6,4       br.         7,6/1,0       8,5       <0,5

Tab. III. H,H-Kopplungskonstanten (Hz).

Die übrigen Kopplungspartner ergeben sich aus den Strukturen.

Carbonyle bei  $\delta = 195,5$  und 203,2 (cheliert). Die Ausgangsverbindung des Gleichgewichtsgemisches war somit stereochemisch einheitliches 2,3-Dihydrojuglomycin A (3). Versuche, 3 als 3',5-Diacetat zu stabilisieren, mißlangen (s. unten).

Das Gleichgewichtsprodukt von **3** zeigte ein vergleichbares  $^{1}$ H-NMR-Kopplungsmuster (aromat. ABC-System,  $\gamma$ -Butyrolacton, 3-H<sub>2</sub>/2-H), jedoch typisch veränderte  $\delta$ -Werte (Tab. II) und – bei stabilem 5-OH-Peak ( $\delta$  = 12,24) – ein tieffeldverschobe-

Tab. IV. 13C-NMR-Daten.

	4a*	4	3	1	5	6	7 b	8*	6a	6 b	7 a	8a*	9	9b*
C-1	98,8	102,5	195,5	183,8	185,0	185,2	183,8	183,1	185,1	184,3	183,6	183,9	142,9	145,5
C-2	47,0	48,5	47,5	147,0	150,4	122,4	119,4	118,7	131,8	121,3	128,9	128,6	118,6	121,9
C-3	30,0	39,5	38,8	134,9	137,5	156,7	156,5	153,8	158,4	155,0	158,4	158,2	108,4	121,9
C-4	192,9	203,0	203,2	190,8	191,4	186,2	185,8	184,3	186,2	184,7	186,1	186,2	147,7	143,1
C-4 a	130,5	118,2	115,7	115,7	115,9	114,5	114,4	113,0	114,4	113,2	114,5	114,4	115,7	123,5
C-5	147,8	161,5	161,9	162,1	161,8	161,8	161,9	161,4	161,5	161,4	161,5	161,7	155,3	141,6
C-6	131,1	118,3	123,8	125,9	124,4	123,5	123,8	123,4	124,1	123,5	124,4	124,1	109,9	120,2
C-7	131,0	137,3	137,8	137,6	137,6	138,0	138,3	137,8	136,6	137,4	136,7	136,7	127,0	127,3
C-8	125,8	117,6	117,7	119,6	119,6	119,5	119,6	119,9	119,2	119,8	119,3	119,2	113,5	119,3
C-8a	133,6	145,5	136,3	133,1	133,2	133,6	133,2	132,3	132,7	132,4	131,6	131,7	129,2	129,5
C-1'	174,1	175,4	174,6	175,2	173,0	173,3	168,1		172,8	173,1	167,3		176,3	173,6
C-2'	37,6	36,6	35,2	39,5	42,4	41,1	49,3	$30,1^{+}$	41,2	40,5	49,3	$30,2^{+}$	39,4	36,7
C-3'	71,5	76,8	68,7	70,2	67,2	67,9	199,1	$203,6^{+}$	67,2	67,7	198,1	$203,7^{+}$	70,2	70,2
C-4'	74,9	85,8	82,0	81,4	38,0	31,9	37,9	$38,1^{+}$	30,8	30,9	37,8	$38,5^{+}$	83,1	78,7
$CH_3O$							52,2		51,8	51,9	52,4			
									61,9		61.9	61.8		

<sup>\*</sup> CDCl<sub>3</sub>, sonst Aceton-d<sub>6</sub> (50,3 MHz),  $\delta$  (TMS) = 0. – Die  $\delta$ -Werte für **5a** stimmen innerhalb von  $\pm$ 0,3 mit denen von **5** überein (OMe 52,1). – Acetylreste:  $\delta$  = 169,6, 168,2, 21,5, 21,4 (**4a**) und 169,6, 169,3 (2), 168,6, 21,2, 21,1, 20,6, 20,4 (**9b**); + C-1'-3' der Acetonylseitenkette.

nes Hydroxylsignal ( $\delta=6,04$ ). Im  $^{13}$ C-Spektrum fehlte nach Abzug der Signale von **3** das des zweiten unchelierten Carbonyls ( $\delta=195,5$ ), hinzu kam eines bei  $\delta=102,5$  (quart. C). Die übrigen Signale (Tab. IV) entsprachen weitgehend denen von **3**; alle ließen sich einwandfrei zuordnen (APT; C,H-Korr.;  $J_{\rm C,H}$ ). Insgesamt resultierte daraus die Hemiketalstruktur **4**.

Vorsichtige Acetylierung von 3/4 unter N<sub>2</sub> führte zu gleichgroßen Mengen von 1,4-Dihydrojuglomycin A- und B-Tetracetetat (9b, 9c) sowie dem instabilen 1,5-Diacetat 4a (NMR-Daten: Tab. II). Das 3',5-Diacetat von 3 fehlte; wahrscheinlich weicht 3 in seine 1,4-Endiolformen 9, 9a (s. Schema 1) aus.

**3** und **4** besitzen ein bzw. zwei Chiralitätszentren mehr als die ohne Beteiligung von C-3' (Schema 1) daraus entstehenden Juglomycine A und B (**1**, **2**). Da deren absolute Konfiguration geklärt war [2], genüg-

te jetzt die Ermittlung der relativen Daten. Sie gelang durch Röntgenstrukturanalyse der sehr empfindlichen Kristalle von 3 und érgab, da C-3′ R sein mußte, eine 2S,3′R,4′R-Anordnung (Abb. 1). Man erkennt das halbsesselartig nach hinten verlagerte C-2 und die leicht nach vorn stehende C-2/C-4′-Bindung zum wiederum rückwärts abgeknickten, Envelopeförmigen γ-Lactonring. Dieser muß sich in Lösung

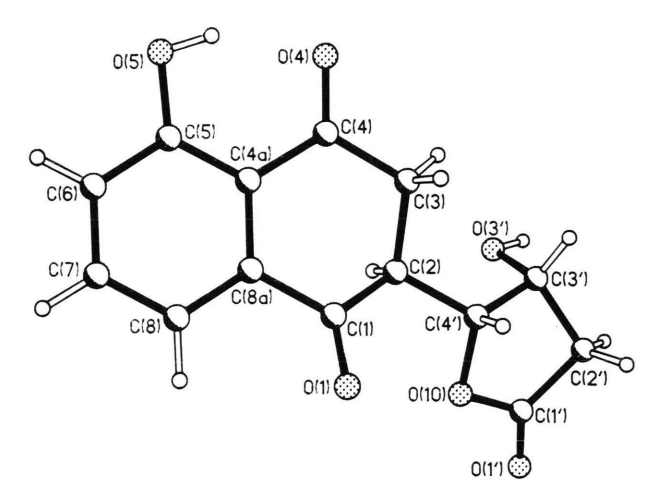


Abb. 1. Das Molekül von 2,3-Dihydrojuglomycin A (3) im Kristall. Radien sind willkürlich.

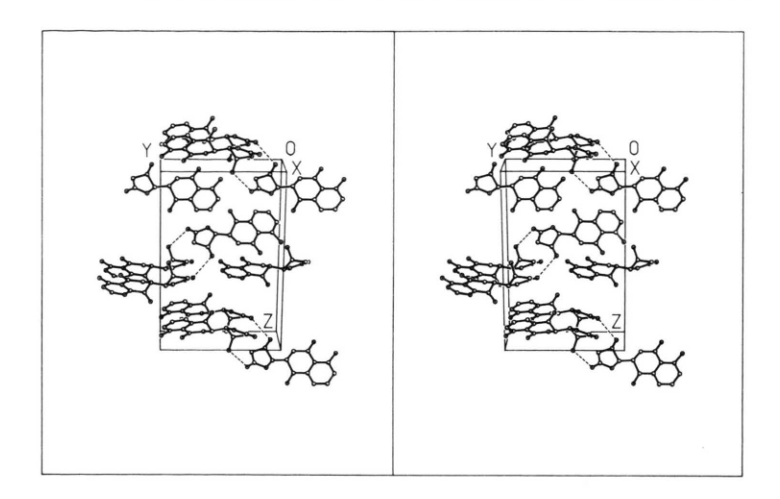


Abb. 2. Stereographisches Packungsbild von (3). H-Atome sind weggelassen. Wasserstoffbrücken  $[O(3')\cdots O(1')$  (bei 0.5+x, 1.5-y, 1-z) 296,5 pm] sind als gestrichelte Linien dargestellt.

ca. 180° um die C-4'/C-2-Achse drehen (s. 3), denn nur dann kann das jetzt nach vorn/unten stehende 3'-Hydroxyl mit dem leicht nach vorn/rechts geneigten 1-Carbonyl den neuen Fünfring des Hemiketals 4 ausbilden. Er läßt sich laut Modell zur C-1-Rückseite hin schlecht schließen, so daß das vierte Chiralitätszentrum von 4 1R-konfiguriert sein sollte.

### II. Neue Juglomycine

### a. Juglomycin C

Die aus Rohprodukt B isolierte, auch durch Hydrogenolyse von 1 oder 2 (Schema 1) zugängliche, gelbrot kristallisierende Substanz zeigte alle Eigenschaften eines Juglonchromophors mit saurer C<sub>4</sub>-Seitenkette an C-2. Im <sup>1</sup>H-NMR-Spektrum fiel neben dem aromat. ABC-System und dem chinoiden 3-H ein zweites Protonenpaar ( $\delta \sim 2.8$ ) auf, das mit 3-H (J = 1,1 Hz, dd) sowie einer benachbarten CH(OH)- $(\delta = 4,36)$  mit anschließender CH<sub>2</sub>-Gruppe  $(\delta \sim 2,55)$ ein typisches Kopplungsmuster bildete (Tab. II, III). Hinzu kamen das chelierte 5-OH- ( $\delta = 11.98$ ), ein weiteres OH- ( $\delta = 3.78$ ) sowie ein Säureproton ( $\delta \sim$ 7,5–9). Die daraus ableitbare  $\beta$ -Hydroxybuttersäure-Seitenkette führte zusammen mit den <sup>13</sup>C-NMR-(Tab. IV) und MS-Daten zur Struktur 5. Da diese auch durch reduktive Öffnung [6] der Lactonringe von 1 und 2 an C-4' entsteht (gleiche Drehwerte!), mußte C-3' S-konfiguriert sein (Prioritätenumkehr). - Methylierung von 5 mit Diazomethan gab krist. 5a.

5: 
$$R = H$$
 (Juglomycin C)  
 $0 H$   $0 H$   $0 H$   $0 H$   $0 H$ 

### b. Juglomycine D, E und F

Gemeinsames Merkmal dieser vorwiegend in reiferen Streptomycetenkulturen gefundenen Strukturvarianten ist ihre 3-Hydroxylfunktion.

Juglomycin D wurde sowohl aus Rohprodukt C als auch - in Form seines Methylesters (methanolfreie Aufarbeitung!) – aus 96-h-Kulturen von Stamm 3094 isoliert. Die <sup>1</sup>H-NMR-Daten glichen denen von 5 (Tab. II) und bewiesen identische Seitenketten, nur das 3-H-Signal fehlte. Die Hochfeldverschiebung des 5-OH-Peaks ( $\delta = 11.98 \rightarrow 11.38$ ) deutete auf einen 3-Hydroxylsubstituenten (vgl. H. Laatsch [7]), dessen Signal mit dem der Carboxylgruppe zusammenfiel. Die <sup>13</sup>C-Daten mit typischen Verschiebungen für C-2, 3 und 4' ( $\Delta \delta = -28, +19, -6 \text{ ppm}$ ; Tab. IV) sowie das hochaufgelöste Massenspektrum (C<sub>14</sub>H<sub>12</sub>O<sub>7</sub>) bestätigten die Struktur 6. Der Methylester 6b gab analoge UV-, NMR-, IR- und MS-Daten. Die absolute Konfiguration für beide sollte 3'S sein, da 6 oxidativ aus 5 entstehen dürfte und die Drehrichtungen gleich sind.

Im Juglomycin E (7), das nur als rotgelb kristallisierender Methylester 7**b** aufgefunden wurde, ist C-3' zum Carbonyl oxidiert. Dementsprechend zeigten die

NMR-Spektren neben dem 5-OH-Peak ( $\delta=11,32$ ) u. a. zwei CH<sub>2</sub>-Singuletts ( $\delta=3,71,3,84$ ), das charakteristische Tieffeld-ABC-System (Tab. II, III) und ein zusätzliches <sup>13</sup>C-Carbonylsignal ( $\delta=199,1$ ) aus der  $\beta$ -Oxobuttersäurekette. UV-, NMR- und MS-Daten insgesamt bestätigten die Struktur von **7b.** 

Juglomycin F (8), nativ durch Decarboxylierung von 7 entstanden, enthält eine Acetonylseitenkette. Alle UV-, NMR- (Tab. II–IV) und MS-Daten bewiesen die Konstitution.

Zur Strukturbestätigung und Gewinnung von Varianten wurden **6b**, **7b** und **8** mit Diazomethan in Aceton methyliert. Die erhaltenen 3-O-Methylderivate **6a**, **7a** und **8a** zeigten bei jeweils freiem 5-Hydroxyl (Tab. II) alle zu erwartenden spektroskopischen Eigenschaften (Exp. Teil).

### c. 1,4-Dihydrojuglomycin A und B (9, 9a)

Da diese bislang nicht beschriebenen, sehr sauerstoffempfindlichen "Leuco"-Juglomycine bei der Weiterreaktion des Precursors 3 (Schema 1) eine Rolle spielen und als Synthesezwischenprodukte auch NMR-spektroskopisch interessierten, wurden 1 und 2 vorsichtig in  $[D_6]$ -Aceton hydriert und unter  $N_2$ sofort gemessen. 9 zeigte die vier OH-Signale bei  $\delta = 4,42, 7,97 \text{ und } 10,0 \text{ (doppelt)}, \text{ ein scharfes 3-H-}$ Singulett, das gegenüber 1 verschobene aromat. ABC-System sowie die wenig veränderten Butyrolactonpeaks (Tab. II). Charakteristisch für diese 1,4,5-Trihydroxynaphthaline - und analytisch oft von Nutzen - waren die gegenüber den Juglonchromophoren vertauschten ortho-Kopplungskonstanten  $(9-9c: J_{6.7} = 7.5, J_{7.8} = 8.5; 1-8: J_{6.7} = 8.4, J_{7.8} =$ 7,6 Hz; Tab. III). Die 13C-Daten differierten wie erwartet (Tab. IV). Ein Konfigurationswechsel an C-4'  $(9 \rightarrow 9a)$  beeinflußt nur die 3-H- und die Seitenkettensignale.

Reduzierende Acetylierung von 1 und 2 lieferte die im DC (LS VI;  $R_F$  0,23, 0,37) gut trennbaren 1,4,5,3'-Tetracetate **9b, 9c.** Hochaufgelöste Massenspektren, NMR- (Tab. II–IV), UV- und IR-Daten bestätigten die Strukturen. Die NMR-Signale der Acetylgruppen waren deutlich getrennt und andere (3-, 6-, 3'-H) charakteristisch verschoben. – Die absolute Konfiguration von **9, 9a** und **9b, 9c** ist naturgemäß 3'R, 4'R bzw. 3'R, 4'S.

#### III. Bakteriostatische Aktivität

Die Bandbreite der antibiotischen Wirkung und die MHK-Werte von 1 und 2 sind beschrieben [1]. Die neuen Juglomycine und die Derivate wurden für eine erste Übersicht gegen *Bac. subtilis* (synth. u. komplexer Nährboden) sowie *E. coli* im Plattendiffusionstest geprüft (Tab. I).

Die übrigen Verbindungen waren nicht nennenswert aktiv und Teste gegen *Ps. aeruginosa* oder *Mucor muhei* nur in Einzelfällen positiv.

### Diskussion

Basisverbindungen für die unterschiedlichen Juglomycine – und damit wohl auch die C<sub>28</sub>-Farbstoffe [4] – sind offenbar das (2S,3'R,4'R)-2,3-Dihydrojuglomycin A (3) bzw. dessen Hemiketal 4. Daraus entsteht unter Luftausschluß, in Aceton langsamer als in protischen Solventien, das (3'R,4'R)-1,4-Dihydrojuglomycin A (9). Dessen Lactonring könnte sich entsprechend Schema 1 öffnen und unter partieller Racemisierung von C-4' (10) recyclisieren. Es bilden sich dann, wie experimentell nachvollziehbar, die an C-4' epimeren 1,4-Dihydrojuglomycine 9 und **9a** in etwa natürlicher Verteilung (ca. 3:1), die dann oxidativ vorwiegend Juglomycin A und B (1, 2) ergeben. Dimerisierungsreaktionen würden hier zu roten Farbstoffen führen. Wird der Lactonring infolge Protonierung von 10 nicht wieder geschlossen (11), so erhält man die neuen (3'S)-Juglomycine C (5) und nach Weiteroxidation - D (6) bzw. E (7) oder F (8; -CO<sub>2</sub>). Reines (3'S)-5 entsteht auch durch Hydrogenolyse von 1 oder 2 über 9 bzw. 9a; umgekehrt

Schema 1.

führt Luftoxidation von 5 (Methanol/Wasser) langsam zu einem Gemisch mit bis zu 70% 1 und 2. Bei der Acetylierung von krist. 3 unter Stickstoff werden, unter rascher basenkatalysierter Racemisierung von C-4′, 9 und 9a (ca. 1:1) als Tetraacetate 9b, 9c und etwas Hemiketal 4 als Diacetat 4a gefunden.

Während der Übergang einer isolierbaren Dihydrovorstufe in das entsprechende Antibioticum mehrfach beschrieben wurde, fand sich für die Bildung eines Diastereomeren-Paares und eines weiteren stereochemisch einheitlichen Wirkstoffes aus einer gemeinsamen Vorstufe dieses Typs kein Beispiel. Die oxidative Überführung einer 3-Hydroxybuttersäure in eine γ-Lactonseitenkette und auch umgekehrt [8] ist bei einzelnen Isochromanchinon-Antibiotica bekannt. - Da die untersuchten Streptomycetenstämme gleichzeitig noch weitere Wirkstoffe vom Isochromanchinon-Typ und sogar Anthrachinone [4] bilden, zeigt sich insgesamt eine bemerkenswerte Variabilität des Sekundärstoffwechsels, wie man sie ähnlich auch bei den Nanaomycinen [9] oder Naphthocyclinonen [10] findet.

Die antibakterielle Aktivität der Juglomycine (Tab. I) ist – wie auch von anderen Isochromanchinon-Wirkstoffen bekannt – nicht an die 4'R-Konfiguration ( $1 \rightarrow 2$ ) oder an einen intakten  $\gamma$ -Butyrolactonring gebunden (5). Die (S)- $\beta$ -Hydroxybuttersäure-Seitenkette kann auch verestert (5a, 6a, 7a), oxidiert (7a; Wirkungsabfall) oder verkürzt sein (8a). Die 3-Hydroxyjuglon-Varianten (6b, 7b, 8) müssen jedoch 3-O-methyliert vorliegen (6a, 7a, 8a). Eine zweifache Bromsubstitution (Br-A,

Br-B) beeinträchtigt die Aktivität wenig, während sie durch 5-O-Methylierung, reduktive Acetylierung (**9b, c**) oder auch 3'-Mono- bzw. 3',5-Diacetylierung von **1** oder **2** [2] praktisch verschwindet. Die Auswirkungen einer 3'-Epimerisierung sind noch unklar, wohingegen das Einfügen einer CH<sub>3</sub>-CH-Einheit zwischen 3'-O und C-3 (Kalafungingerüst; vgl. **5** in Mitt. [2]) eher das Aktivitätsspektrum beeinflußt.

Insgesamt gesehen kann die relativ einfache Grundstruktur bemerkenswert weiträumig ohne gravierende Wirkungseinbußen verändert werden. Das bietet gute Aussichten für die synthetische Optimierung dieses Wirkstofftyps, wobei die jetzt vorhandenen, detaillierten NMR-Daten zahlreicher Strukturvarianten von besonderem Nutzen sind.

### **Experimenteller Teil**

Schmp.: Kofler-Block, unkorr. – UV-Spektren: "Varian-Cary" 219. – IR-Spektren: "Perkin-Elmer" 298. – Optische Drehwerte: "Perkin-Elmer" 241. – NMR-Spektren: "Varian" XL/VXR-200 (Tetramethylsilan als int. Standard). – Massenspektren: "Finnigan-MAT" 731 (Hochauflösung mit Perfluorkerosin als Vergleichssubstanz). – Dünnschichtchromatographie (DC): DC-Mikrokarten Kieselgel 60 F<sub>254</sub>, 0,2 mm ("E. Merck", Darmstadt); DC-Mikrokarten SiF, 0,2 mm, 5×10 cm ("Riedel de Haen"); Kieselgelfertigplatten zur präparativen DC, 0,5 mm, 20×20 cm ("E. Merck"). – Phosphatpufferimprägnierung: Überschüssiger Puffer wurde zwischen Zellstoff entfernt, Lufttrocknung, dann 10 min bei

120 °C. – Präparative Schichtchromatographie (PSC): 40×20-cm-Dickschichtplatten (40 g Kieselgel-60-PF<sub>254</sub>-,,Merck" in 100 ml Wasser, 2 d Lufttrocknung, 3 h bei 120 °C). Zur Phosphatpufferoder Oxalsäureimprägnierung: 100 ml Puffer bzw. 0,25 N Oxalsäure anstatt Wasser. - Säulenchroma-(SC): Silanisiertes tographie Kieselgel 0.063 - 0.2 mm("Merck"); Oxalsäure-Kieselgel, 0,07 mm ("Macherey & Nagel"). – Laufmittelsysteme (LS): I: Chloroform/Methanol (a 3:1, b 5:1, c 10:1, d 50:1, e 60:1); II: Chloroform/Aceton (a 3:1, b 5:1, c 10:1, d 30:1); III: Ethanol/Phosphatpuffer pH 6,8 (1:5); IV: wie III, pH 6,0; V: Ethanol/0,05 M KH<sub>2</sub>PO<sub>4</sub>-Lösung (1:5); VI: Cyclohexan/Chloroform/Methanol (50:50:2).

Fermentation: Der Streptomycetenstamm 815 (Sammlung des Inst. f. Organische Chemie) wurde 10–14 d bei 28 °C auf M2-Agar angezüchtet. Das Impfmaterial gab man entweder direkt oder aus 2–3 d alten Schüttelvorkulturen in 40 1-I-Erlenmeyerkolben mit je 150 ml M2-Nährlösung und inkubierte bei 28 °C auf der Schüttelmaschine. – M2: 10 g Malzextrakt, 4 g Hefeextrakt ("Difco"), 4 g Glucose pro 1000 ml Wasser; pH 7,2.

Gewinnung der Rohprodukte A-D: Nach Ansäuern auf pH 4 wurde die Kulturlösung zentrifugiert, das Mycel mit Wasser nachgewaschen und die vereinte wäßrige Phase durch Saugfiltration von Mycelresten befreit. Das Filtrat extrahierte man dreimal mit je 2 l CHCl<sub>3</sub>, engte diese Phase auf 1 l ein und extrahierte die sauren Inhaltsstoffe zweimal mit je 0,5 l Phosphatpuffer pH 6,8. Nach zweimaliger Rückextraktion des Puffers mit CHCl3 wurden die vereinten organ. Phasen eingedampft: 300 mg Rohprodukt A (Hhd. = 30 mm; vgl. Tab. I). – Extrahieren der Pufferlösung bei pH 4 mit 2×1 l CHCl<sub>3</sub> gab Rohprodukt B (124 mg, Hhd. 33 mm) und mit 2×0,5 l Ethylacetat restliches C. Dieses fügte man zum Ethylacetatextrakt (2×2 l; nach CHCl<sub>3</sub>) des Kulturfiltrates: Rohprodukt C (126 mg, Hhd. 12 mm). – Das trockengesaugte Mycel wurde 1 h im Dunkeln mit 1 l Aceton digeriert und der i. Vak. eingedampfte Extrakt entfettet (CHCl3-MeOH 9:1/Petrolether): Rohprodukt D (185 mg, Hhd. 14 mm).

### Auftrennung der Rohprodukte A−D

A: Das ölige A wurde in zwei Stufen wie oben entfettet und die vereinigten Präzipitate (185 mg, amorph) in 2 ml Ethanol aufgenommen. Nach Zugabe von 10 ml KH<sub>2</sub>PO<sub>4</sub>-Lösung blieb eine farblose, gelb fluoreszierende Substanz (3) in Lösung, während die gelben Komponenten (1 und 2) weitgehend ausfielen. Die Lösung chromatographierte man unter N<sub>2</sub> an einer 2,5×30-cm-Säule aus silanisiertem

Kieselgel (LS V und Adsorbens mit  $N_2$  gespült). Die durchlaufende Fraktion wurde unter  $N_2$  aufgefangen, i. Vak. eingeengt und mit CHCl<sub>3</sub> extrahiert. Der getrocknete (Na<sub>2</sub>SO<sub>4</sub>) und i. Vak. eingedampfte Extrakt gab 26 mg fast farbloses **3**, das aus 1,5 ml CHCl<sub>3</sub>–MeOH 5:1/15 ml Cyclohexan (überschichtet) nach 4 d in langen, gelblichen Nadeln kristallisierte. – Die mit Ethanol eluierten gelben Komponenten wurden mit den obigen vereint und durch PSC (neutrales Kieselgel, LS Id) aufgetrennt: 46 mg **1** und 12 mg **2**.  $R_f$  (LS Ie) 0,29, 0,36, übrige Daten vgl. [2].

2,3-Dihydrojuglomycin A [(2S,3'R,4'R)-4'-(5-Hydroxy-1,2,3,4-tetrahydronaphthalin-1,4-dion-2-yl)-3'-hydroxy-\gamma-butyrolacton] (3)

Schmp. 132 °C (Zers.) – UV (Methanol):  $\lambda_{\rm max}$  ( $\varepsilon$ ) = 219 (16100), 250 (7100), 339 nm (4300). – IR (KBr): 3495 (OH), 3140 (br., OH), 3090, 2950/2940, 1760/1750/1705 (CO), 1650 (CO, cheliert), 1607, 1455, 1327, 1250, 1240, 1210, 1175, 1160, 1150, 1095, 980, 907, 808, 737 cm<sup>-1</sup>. –  $^{1}$ H- und  $^{13}$ C-NMR: Tab. II–IV. – MS (70 eV): m/e (%) = 276 (14, M<sup>+</sup>), 258 (34), 230 (12), 206 (17), 176 (65), 147 (24), 121 (11), 120 (7), 92 (3), 44 (100).

C<sub>14</sub>H<sub>12</sub>O<sub>6</sub> (276,0634) Ber. C 60,87 H 4,38, Gef. C 60,73 H 4,28; 276,0632 (MS).

*B*: Das an zwei  $20\times40$ -cm-Dickschichtplatten (KH<sub>2</sub>PO<sub>4</sub>-Kieselgel, LS Ib) vorfraktionierte B gab neben wenig **1** und **2** als Hauptzone 85 mg gelbes, fluoreszierendes, rohes **5** (Hhd. 37 mm). Dies ließ sich an silanisiertem Kieselgel (2,5×30-cm-Säule, LS III) weiter reinigen. Die zuerst durchlaufende, von Ethanol i. Vak. befreite Hauptfraktion wurde bei pH 4,0 mit CHCl<sub>3</sub> extrahiert und der Eindampfrückstand des getrockneten Extraktes (68 mg) aus 4 ml CHCl<sub>3</sub>/MeOH 9:1 und 25 ml Cyclohexan durch Überschichtung kristallisiert. 62 mg rötlichgelbe Nadeln mit Schmp. 159 °C (Zers.) und  $[\alpha]_D^{25} = -51.2 \pm 0.5^\circ$  (c = 0.5 in Methanol).

Juglomycin C [(3'S)-4'-(5-Hydroxy-1,4-dihydro-naphthalin-1,4-dion-2-yl)-3'-hydroxy-buttersäure] (5)

UV (Methanol):  $\lambda_{\text{max}}$  ( $\varepsilon$ ) = 210 (38500), 254 (10450), 267 (11000), 418 nm (4150); Methanol/NaOH: 206 (56700), 274 (11350), 520 nm (4800). – IR (KBr): 3400–2400 (OH cheliert, COOH), 3220 (br., OH), 2950, 1710/1667/1640 (C=O), 1612, 1455, 1265, 1200, 1190, 1180, 1160, 835, 750, 740 cm<sup>-1</sup>. –  $^{1}$ H- und  $^{13}$ C-NMR: Tab. II–IV. – MS (70 eV): m/e

 $(\%) = 276 (5, M^{+}), 258 (41), 216 (25), 188 (100), 160 (26).$ 

C<sub>14</sub>H<sub>12</sub>O<sub>6</sub> (276,0634)

Ber. C 60,87 H 4,38,

Gef. C 60,86 H 4,26; 276,0632 (MS).

Zur Darstellung von *Juglomycin C-methylester* (**5a**) wurden 30 mg **5** in 3 ml Methanol mit Diazomethan methyliert (1 h). Aus CHCl<sub>3</sub>/Cyclohexan gelbe Kristalle mit Schmp. 112 °C. NMR-Daten: Tab. II–IV.

*C:* Das an drei 20×20-cm-PDC-Platten wie B vorgetrennte C gab eine schwachgelbe Vorzone (5), einen gelben Farbstoff (rohes 6, 25 mg) sowie eine rote Mischzone (30 mg). 6 wurde an silanisiertem Kieselgel (1,5×20-cm-Säule, LS IV) nachgereinigt und wie für B beschrieben aufgearbeitet: 11 mg rötlichgelbe Nadeln mit Schmp. 174–175 °C (Zers.) und  $[\alpha]_0^{20} = -30 \pm 0.5^{\circ}$  (c = 0.5 in Methanol).

Juglomycin D [(3'S)-4'-(3,5-Dihydroxy-1,4-dihydro-naphthalin-1,4-dion-2-yl)-3'-hydroxy-buttersäure] (6)

UV (Methanol):  $\lambda_{\text{max}}$  ( $\epsilon$ ) = 225 (15500), 285 (12100), 410 (4900); Methanol/NaOH: 251 (19000), 448 nm (6800). – IR (KBr): 3400–2400 (OH cheliert, COOH), 3545, 3365, 1738, 1637/1625 (C=O), 1593, 1462, 1395, 1165, 1065, 1045, 750, 670 cm<sup>-1</sup>. –  $^{1}$ H- und  $^{13}$ C-NMR: Tab. II–IV. – MS (70 eV): m/e (%) = 292 (1, M<sup>+</sup>), 274 (6), 232 (3), 229 (3), 204 (100).

C<sub>14</sub>H<sub>12</sub>O<sub>7</sub> (292,0583)

Ber. C 57,57 H 4,14,

Gef. C 57,40 H 4,31.

D: D lieferte nach Entfettung und PSC (2 Platten,  $20\times40$  cm, Kieselgel, LS Ib) zwei tiefgelbe, lichtempfindliche Mycelfarbstoffe (8 mg D<sub>1</sub>, 30 mg D<sub>2</sub>;  $R_f = 0.8, 0.6$ ) mit bislang ungeklärter Struktur.

### Isolierung der Juglomycine D, E und F

Die Fermentationsdauer des Stammes 3094 (s. vorhergeh. Mitt. [2]) im Glasfermenter wurde auf 96 h verlängert und das jetzt rot gefärbte Kulturfiltrat mit 2N HCl auf pH 3 angesäuert. Der rotbraune, abfiltrierte, acetonlösliche Niederschlag (Rohprodukt E) enthielt u.a. zwei neue Farbstoffe [4] sowie etwas **6b**, **7b** und **8**. Das Filtrat extrahierte man erschöpfend mit Ethylacetat und chromatographierte den Eindampfrückstand (0,8 g) an oxalsaurem Kieselgel (4,5×25-cm-Säule, LS IIa). Von den eluierten Fraktionen 1–5 (zunehmende Laufgeschw.) wurden 1 und 5 (komplexe Gemische) verworfen und der Eindampfrückstand von 2–4 in Ethylacetat gelöst, mehrfach mit Wasser gewaschen und einge-

dampft ( $R_f = 0.19, 0.34, 0.44$ ; LS IId, oxals. Kieselgel).

Juglomycin D-methylester [(3'S)-4'-(3,5-Dihydroxy-1,4-dihydronaphthalin-1,4-dion-2-yl)-3'-hydroxybuttersäure-methylester] (**6b**)

Fraktion 2 (150 mg) ließ sich durch PSC (40×20 cm, oxals. Kieselgel, LS IIb) trennen. Die Hauptzone kristallisierte aus Ether/Petrolether in gelben Nadeln (78 mg) mit Schmp. 158 °C. [ $\alpha$ ]<sub>D</sub><sup>25</sup>:  $-32,3\pm0,5^{\circ}$  (c=0,1 in Methanol). - UV (Methanol):  $\lambda_{\rm max}$  ( $\epsilon$ ) = 278 (14100), 405 (4340); Methanol/NaOH: 255 (16600), 265 (16300), 445 nm (5400). - IR (KBr): 3490, 3200, 1705, 1630 cm<sup>-1</sup>. - NMR-Daten: Tab. II-IV. - MS (70 eV): m/e (%) = 306 (0,5, M $^+$ ), 288 (1), 274 (2), 257 (5), 229 (5), 204 (100), 176 (16), 147 (7), 121 (10).

C<sub>15</sub>H<sub>14</sub>O<sub>7</sub> (306,0735) Gef. 306,0739 (MS).

Juglomycin E-methylester [4'-(3,5-Dihydroxy-1,4-dihydronaphthalin-1,4-dion-2-yl)-3'-oxo-buttersäure-methylester] (**7b**)

Fraktion 3 (orange, 80 mg) wurde wie 2 chromatographiert (LS II c) und die Hauptzone aus Ether/Petrolether kristallisiert. Gelbe Nadeln mit Schmp. 154 °C. – UV (Methanol):  $\lambda_{\text{max}}$  ( $\epsilon$ ) = 278 (15400), 410 (5200); Methanol/NaOH: 255 (21300), 445 nm (6900). – IR (KBr): 3340, 1745, 1705, 1640 cm<sup>-1</sup>. – MS (70 eV): m/e (%) = 304 (6, M<sup>+</sup>), 272 (61), 246 (5), 230 (11), 204 (100), 176 (9), 121 (7). – NMR-Daten: Tab. II–IV.

C<sub>15</sub>H<sub>12</sub>O<sub>7</sub> (304,0579) Gef. 304,0583 (MS).

Juglomycin F [1'-(3,5-Dihydroxy-1,4-dihydro-naphthalin-1,4-dion-2-yl)-2'-oxo-propan] (8)

Fraktion 4 (gelb, 50 mg) gab nach Chromatographie wie bei 2 (LS IId) und Kristallisation aus CH<sub>2</sub>Cl<sub>2</sub>/Petrolether 25 mg gelbe, bei 148 °C schmelzende Nadeln. – UV (Methanol):  $\lambda_{\text{max}}$  ( $\epsilon$ ) = 278 (14500), 405 (4700); Methanol/NaOH: 255 (18200), 445 nm (5200). – IR (KBr): 3400, 3250 sh, 1705, 1630 cm<sup>-1</sup>. – NMR-Daten: Tab. II–IV. – MS (70 eV): m/e (%) = 246 (14, M<sup>+</sup>), 204 (100), 176 (16), 147 (8), 121 (12).

C<sub>13</sub>H<sub>10</sub>O<sub>5</sub> (246,0525) Gef. 246,0528 (MS).

Methylierung von 6b, 7b und 8

Je 25 mg der Edukte in 10 ml Aceton wurden bei 0 °C mit 5-10 ml einer 0,4 M etherischen Diazome-

thanlösung versetzt und die Mischung nach *ca.* 10 min (DC-Kontrolle) i.Vak. eingedampft. Die Rückstände ließen sich durch PDC (Kieselgel,  $20 \times 20$  cm, LS Ic und Id (8)) reinigen.  $R_f$  0,69, 0,82, 0,84 (LS Ie).

3-O-Methyljuglomycin D-methylester [(3'S)-4'-(3-Methoxy-5-hydroxy-1,4-dihydronaphthalin-1,4-dion-2-yl)-3'-hydroxybuttersäure-methylester] (6a)

Aus CH<sub>2</sub>Cl<sub>2</sub>/Petrolether gelbe Nadeln mit Schmp. 57 °C und  $[\alpha]_D^{25} = -30.8 \pm 0.5^\circ$  (c = 0.2 in Methanol). – UV (Methanol):  $\lambda_{max}$  ( $\epsilon$ ) = 285 (9900), 415 (4200); Methanol/NaOH: 282 (10500), 515 nm (3600). – IR (KBr): 3500, 2950, 1705, 1640, 1615 cm<sup>-1</sup>. – NMR-Daten: Tab. II–IV. – MS (70 eV): m/e (%) = 320 (0.5, M<sup>+</sup>), 302 (2), 288 (3), 271 (6), 247 (3), 218 (100), 203 (25), 188 (8), 175 (9).

C<sub>16</sub>H<sub>16</sub>O<sub>7</sub> (320,0891) Gef. 320,0896 (MS).

3-O-Methyljuglomycin E-methylester [4'-(3-Methoxy-5-hydroxy-1,4-dihydronaphthalin-1,4-dion-2-yl)-3'-oxobuttersäure-methylester] (7a)

Aus CH<sub>2</sub>Cl<sub>2</sub>/Petrolether faserige, gelbe Nadeln mit Schmp. 104 °C. – UV (Methanol):  $\lambda_{max}$  ( $\varepsilon$ ) = 285 (9150), 415 (3800); Methanol/NaOH: 274 (16700), 510 nm (3100). – IR (KBr): 3420, 2940, 1740, 1710, 1640, 1625, 1615 cm<sup>-1</sup>. – NMR-Daten: Tab. II–IV. – MS (70 eV): m/e (%) = 318 (11, M<sup>+</sup>), 274 (45), 256 (38), 230 (100), 201 (50), 174 (60).

C<sub>16</sub>H<sub>14</sub>O<sub>7</sub> (318,0735) Gef. 318,0739 (MS).

3-O-Methyljuglomycin F [1'-(3-Methoxy-5-hydroxy-1,4-dihydronaphthalin-1,4-dion-2-yl)-2'-oxo-propan] (8)

Aus CHCl<sub>3</sub>/*n*-Pentan amorphes, gelbes Pulver mit Schmp. 46 °C. – UV (Methanol):  $\lambda_{max}$  ( $\epsilon$ ) = 285 (9450), 415 (4000); Methanol/NaOH: 275 (12900), 510 nm (3010). – IR (KBr): 3440, 2940, 1718, 1635, 1600 cm<sup>-1</sup>. – NMR-Daten: Tab. II–IV. – MS: m/e (%) = 260 (7, M<sup>+</sup>), 218 (74), 203 (32), 193 (26), 175 (10), 161 (5).

C<sub>14</sub>H<sub>12</sub>O<sub>5</sub> (260,0681) Gef. 260,0684 (MS).

1,4-Dihydrojuglomycin A-tetraacetat [(3'R,4'R)-4'-(1,4,5-Triacetoxy-naphthalin-2-yl)-3'-acetoxy- $\gamma$ -butyrolacton] (**9b**) und 1,4-Dihydrojuglomycin B-tetraacetat [(3'R,4'S)-4'-(1,4,5-Triacetoxy-naphthalin-2-yl)-3'-acetoxy- $\gamma$ -butyrolacton] (**9c**)

20 mg **1** bzw. **2** in 4 ml CHCl<sub>3</sub> versetzte man unter Rühren bei 20 °C mit 0,4 ml Essigsäure und 12 mg Zinkstaub und nach Entfärbung (20 s) mit 1,2 ml Pyridin, 0,4 ml Acetanhydrid und 12 mg 4-N-Dimethyl-aminopyridin. Nach 30 s wurde mit 15 ml CHCl<sub>3</sub> aufgefüllt und rasch mit 0,1 N HCl, gesätt. NaHCO<sub>3</sub> und Wasser gewaschen. Die Eindampfrückstände der organ. Phasen gaben nach der PDC (Kieselgel, LS VI) 16 mg **9b** bzw. 18 mg **9c** ( $R_f$  0,23, 0,37).

**9b:** Farbl. Nadeln aus CHCl<sub>3</sub>/Cyclohexan, Schmp. 198 °C. – IR (KBr): 3020, 2920, 1770, 1620, 1375, 1195, 1160, 1050 cm<sup>-1</sup>. – MS (70 eV): *m/e* (%) = 444 (7, M<sup>+</sup>), 402 (25), 360 (54), 318 (100), 276 (5), 258 (41), 230 (9), 213 (19). – NMR-Daten: Tab. II–IV.

C<sub>22</sub>H<sub>20</sub>O<sub>10</sub> (444,1051) Gef. 444,1054 (MS).

**9c:** Schmp. 201 °C (Zers.). – IR (KBr): 3030, 2940, 1775, 1615, 1375, 1200, 1055, 1020 cm<sup>-1</sup>. – MS (70 eV): m/e (%) = 444 (3, M<sup>+</sup>), 402 (8), 360 (19), 318 (43), 276 (2), 258 (32), 230 (13), 213 (18), 43 (100). – NMR-Daten: Tab. II, III.

C<sub>22</sub>H<sub>20</sub>O<sub>10</sub> (444,1051) Gef. 444,1054 (MS).

1,4-Dihydrojuglomycin A  $[(3'R,4'R)-4'-(1,4,5-Tri-hydroxy-naphthalin-2-yl)-3'-hydroxy-\gamma-butyrolacton]$  (9) und 1,4-Dihydro-juglomycin B  $[(3'R,4'S)-4'-(1,4,5-Trihydroxy-naphthalin-2-yl)-3'-hydroxy-\gamma-butyrolacton]$  (9a)

5 mg **1** bzw. **2** in 0,5 ml (D<sub>6</sub>)-Aceton wurden mit 2 mg Pd-Mohr bis zur Entfärbung hydriert. Das sehr empfindliche **9** bzw. **9a** gab man nach Absaugen durch Watte unter N<sub>2</sub> direkt in ein mit N<sub>2</sub> oder Argon gefülltes NMR-Röhrchen. NMR-Daten: Tab. II–IV.

Acetylierung von 2,3-Dihydrojuglomycin A (3)

Zu 25 mg **3** in 2 ml CHCl<sub>3</sub> gab man unter N<sub>2</sub> 0,25 ml Acetanhydrid und nach dem Lösen 0,5 ml Pyridin sowie 10 mg 4-N-Dimethylamino-pyridin und arbeitete 30 s später wie für **9b**, **9c** beschrieben auf. Aus dem Rohprodukt (32 mg) ließen sich nach DC (Kieselgel, LS VI) und Kristallisation (CHCl<sub>3</sub>/Cyclohexan, überschichtet) 8,4 mg **9b**, 7,8 mg **9c** sowie 6,2 mg **4a** isolieren.

**4a:** Farblose Prismen, Schmp. 202-203 °C (Zers.). – IR (KBr): 2930, 1800, 1775, 1750, 1705, 1375, 1200, 1100, 1055, 1040 cm<sup>-1</sup>. – NMR-Daten: Tab. II–IV. – MS (70 eV): m/e (%) = 360 (2, M<sup>+</sup>), 318 (47), 300 (1), 276 (34), 258 (9), 230 (9), 206 (10), 176 (17), 43 (100).

C<sub>18</sub>H<sub>16</sub>O<sub>8</sub> (360,0862) Gef. 360,0863 (MS).

## Juglomycin C (5) aus 1 und 2

Je 30 mg 1 bzw. 2 in 3 ml Methanol wurden mit 8 mg Pd/A-Kohle und 4 mg Pd-Mohr aushydriert (ca. 30 min, DC Kontrolle mit LS Ia). Den Eindampfrückstand (i. Vak.) löste man in 15 ml Phosphatpuffer pH 6,8, wusch 2-mal mit 5 ml CHCl<sub>3</sub> und extrahierte dann bei pH 4,0 mit CHCl<sub>3</sub> jeweils 15-20 mg der rötlich-gelben Reaktionsprodukte. Beide waren in allen Daten, vor allem den Drehwerten ( $[\alpha]_0^{20} = -51 \pm 0.5^\circ$  bzw.  $-50.6 \pm 0.5^\circ$ , c = 0.3 in Methanol), identisch mit 5.

## Juglomycin A und B (1, 2) aus 5

20 mg **5** beließ man 5 Tage in 10 ml Methanol/Wasser (95:5) unter Luft, engte dann i. Vak. ein, löste in 20 ml Phosphatpuffer pH 6,8 und extrahierte 2-mal mit 10 ml CHCl<sub>3</sub>. Die organ. Phase gab 13 mg Rohprodukt und nach DC (Kieselgel, LS Ia) 5,6 mg **1** und 5 mg **2**. Identitätsvergleich mit nativem **1** und **2** durch DC, IR, Schmp. und NMR.

Kristallstrukturanalyse von 2,3-Dihydrojuglomycin A (3)

Kristalldaten:  $C_{14}H_{12}O_6$ ,  $M_r = 276,24$ , Raumgruppe  $P2_12_12_1$ , a = 533,08(6), b = 1229,5(2), c =

Tab. V. Atomkoordinaten ( $\times 10^4$ ) und äquivalente isotrope Thermalparameter (pm<sup>2</sup> $\times 10^{-1}$ ) für 2,3-Dihydrojuglomycin A (3).

	X	y	Z	U(eq)*
C(1)	3772(5)	3733(2)	3198(1)	33(1)
C(2)	4797(5)	4268(2)	3878(1)	30(1)
C(3)	7079(6)	3621(2)	4139(2)	37(1)
C(4)	6640(6)	2406(2)	4194(1)	33(1)
C(4A)	4675(6)	1914(2)	3749(1)	31(1)
C(5)	4177(6)	788(2)	3784(1)	37(1)
C(6)	2234(7)	354(2)	3369(1)	42(1)
C(7)	854(6)	993(2)	2913(2)	41(1)
C(8)	1402(6)	2096(2)	2839(1)	38(1)
C(8A)	3274(6)	2548(2)	3258(1)	32(1)
C(1')	3283(6)	7067(2)	3875(1)	33(1)
C(2')	5805(6)	7226(2)	4215(2)	39(1)
C(3')	6525(6)	6063(2)	4403(1)	36(1)
C(4')	5431(5)	5459(2)	3761(1)	32(1)
O(1)	3356(5)	4227(2)	2642(1)	52(1)
O(4)	7972(4)	1859(2)	4599(1)	46(1)
O(5)	5494(5)	104(2)	4210(1)	51(1)
O(10)	3100(4)	6051(1)	3606(1)	36(1)
O(1')	1550(4)	7697(1)	3826(1)	44(1)
O(3')	5260(4)	5701(2)	5031(1)	44(1)

<sup>\*</sup> Äquivalente isotrope U berechnet als ein Drittel der Spur des orthogonalen U<sub>ij</sub>-Tensors.

Tab. VI. Bindungsabstände (pm) und -winkel (°) für 2,3-Dihydrojuglomycin A (3).

C(1)-C(2)	151,8(4)	C(1) - C(8A)	148,5(3)
C(1) - O(1)	121,2(3)	C(2)-C(3)	153,1(4)
C(2)-C(4')	151,9(3)	C(3) - C(4)	151,5(3)
C(4) - C(4A)	146,2(4)	C(4) - O(4)	123,0(3)
C(4A)-C(5)	141,1(4)	C(4A)-C(8A)	140,9(4)
C(5) - C(6)	139,3(4)	C(5) - O(5)	134,8(3)
C(6)-C(7)	136,7(4)	C(7) - C(8)	139,4(4)
C(8)-C(8A)	137,9(4)	C(1') - C(2')	149,6(4)
C(1') - O(10)	134,7(3)	C(1') - O(1')	120,9(4)
C(2')-C(3')	152,1(4)	C(3') - C(4')	151,4(4)
C(3') - O(3')	141,3(3)	C(4') - O(10)	146,8(3)
C(2)-C(1)-C(8A)	115,3(2)	C(2)-C(1)-O(1)	123,2(2)
C(8A)-C(1)-O(1)	121,5(2)	C(1)-C(2)-C(3)	108,7(2)
C(1)-C(2)-C(4')	112,3(2)	C(3)-C(2)-C(4')	111,7(2)
C(2)-C(3)-C(4)	114,3(2)	C(3)-C(4)-C(4A)	118,8(2)
C(3)-C(4)-O(4)	119,4(2)	C(4A)-C(4)-O(4)	121,8(2)
C(4)-C(4A)-C(5)	121,1(2)	C(4)-C(4A)-C(8A)	120,7(2)
C(5)-C(4A)-C(8A)	118,2(2)	C(4A)-C(5)-C(6)	119,4(3)
C(4A)-C(5)-O(5)	122,7(3)	C(6)-C(5)-O(5)	117,9(2)
C(5)-C(6)-C(7)	121,2(3)	C(6)-C(7)-C(8)	120,4(3)
C(7)-C(8)-C(8A)	119,3(2)	C(1)-C(8A)-C(4A)	119,8(2)
C(1)-C(8A)-C(8)	118,8(2)	C(4A) - C(8A) - C(8)	121,4(2)
C(2')-C(1')-O(10)	109,9(2)	C(2')-C(1')-O(1')	129,3(2)
O(10)-C(1')-O(1')	120,8(3)	C(1')-C(2')-C(3')	101,5(2)
C(2')-C(3')-C(4')	100,7(2)	C(2')-C(3')-O(3')	111,2(2)
C(4')-C(3')-O(3')	107,7(2)	C(2)-C(4')-C(3')	116,5(2)
C(2)-C(4')-O(10)	108,5(2)	C(3')-C(4')-O(10)	103,6(2)
C(1')-O(10)-C(4')	109,1(2)		

1844,0(2) pm, V = 1,2086 nm<sup>3</sup>, Z = 4, D<sub>x</sub> = 1,52 Mg m<sup>-3</sup>, F(000) = 576,  $\lambda$  (MoK $\alpha$ ) = 71,069 pm,  $\mu$  = 0,11 mm<sup>-1</sup>.

Datensammlung und -reduktion: Ein farbloses Prisma  $0.7\times0.25\times0.08$  mm wurde auf einem Glasfaden montiert. Auf einem Vierkreisdiffraktometer der Fa. Stoe-Siemens wurden 2780 Intensitäten gemessen (Profile-Fitting-Verfahren [11],  $2\theta_{\text{max}}$  55°). Von 1617 unabhängigen Reflexen ( $R_{\text{int}}$  0.016) wurden 1360 mit  $F > 4\sigma(F)$  für alle Berechnungen verwendet (Programmsystem SHELX bzw. SHELXS). Gitterkonstanten wurden aus  $2\theta$ -Werten von 68 Reflexen im Bereich  $20-24^{\circ}$  verfeinert.

Strukturlösung und -verfeinerung: Die Struktur wurde mit direkten Methoden gelöst und anisotrop auf einen endgültigen R-Wert 0.042 ( $R_{\rm w}$  0.030) verfeinert. Alle H-Atome wurden mit einem Riding-Modell isotrop verfeinert. Das Gewichtsschema war

 $w^{-1} = \sigma^2(F) + 0,0003 F^2$ . 181 Parameter; S 1,55; max.  $\Delta/\sigma$  0,002; max.  $\Delta\rho$  0,22·10<sup>-6</sup>e pm<sup>-3</sup>.

Atomkoordinaten sind in Tab. V, Bindungslängen und -winkel in Tab. VI zusammengestellt. Weitere Einzelheiten zu der Strukturanalyse (Strukturfaktoren, Thermalparameter, H-Atomkoordinaten) wurden beim Fachinformationszentrum Energie, Physik, Mathematik, 7514 Eggenstein-Leopoldshafen 2, deponiert und können dort unter Angabe der Hinterlegungsnummer CSD 53441 und des vollen Zeitschriftenzitats angefordert werden.

Wir danken der Deutschen Forschungsgemeinschaft und dem Fonds der Chemischen Industrie für finanzielle Unterstützung. Herrn Dr. G. Remberg verdanken wir die Aufnahme der Massenspektren und Frau M. Lackner die Ausführung vieler mikrobiologischer Arbeiten.

N. Tanaka, H. Ogata, K. Ushiyama und H. Ono, Jap. J. Antibiotics 24(4), 197 (1971) und 24(5), 222 (1971).

<sup>[2]</sup> J. Krupa, H. Lackner, P. G. Jones, K. Schmidt-Bäse und G. M. Sheldrick, Z. Naturforsch. 44b, 345 (1988).

<sup>[3]</sup> H. Lessmann, Diplomarbeit, Univ. Göttingen (1985).

<sup>[4]</sup> J. Krupa, Dissertation, Univ. Göttingen (1986); Diplomarbeit, Univ. Göttingen (1982).

<sup>[5]</sup> R. H. Thomson, J. Chem. Soc. 1950, 1737.

<sup>[6]</sup> Bekannt z.B. beim Granaticin: J. S. Pyrek, O. Achmatowicz (Jr.) und A. Zamojski, Tetrahedron 33, 673 (1977).

<sup>[7]</sup> H. Laatsch, Liebigs Ann. Chem. 1983, 299.

<sup>[8]</sup> N. Tsuji, M. Kobayashi, Y. Terui und K. Tori, Tetrahedron 32, 2207 (1976).

<sup>[9]</sup> H. Tanaka, Y. Koyama, T. Nagai, H. Marumo und S. Omura, J. Antibiot. 28, 868 und 925 (1975).

<sup>[10]</sup> B. Krone und A. Zeeck, Liebigs Ann. Chem. 1983, 471.

<sup>[11]</sup> W. Clegg, Acta Crystallogr. A37, 22 (1981).